

UDC 534.121.01

航空宇宙技術研究所資料

TM-73

固定端を有する薄肉円筒殻の自由振動について

田寺木一・泉 日出夫

1966年1月

航空宇宙技術研究所

既刊資

TM- 1	高マッハ数風胴について (I)	1961年11月	清 水 福 寿
TM- 2	航空技術研究所計数型電子計算機設備 プログラムライブラリー (I)	1962年 2月	人 之 雄 子 雄 隼 利 芳 保 幸
TM- 4	18cm×20cm超音速風胴について	1962年 5月	木 本 登 雄
TM- 5	遷音速流の線型理論	1962年 8月	口 甫 三
TM- 6	18cm×18cm遷音速風胴整備試験	1962年 8月	好 力 嶽
TM- 7	慣性力形疲労試験機	1962年 8月	美 海 川 登
TM- 8	アルミ合金の前歴が疲れ寿命におよぼす実験的研究	1962年 9月	島 長 細 田 和
TM- 9	方向性次元解析と相似解に関する覚書	1963年 2月	鳥 橋 沢 美
TM-10	DATATRON 205 用 ALGOL 58 使用法について	1963年 2月	川 本 内 田 為
TM-11	光弾性による高速車盤の縞模様	1963年 2月	永 竹 林 中 井
TM-12	コーティングの断熱効果に関する実験	1963年 3月	文 幸 洋 瞳
TM-13	遷音速における 45° 後退角翼の予備的 フ ラ ッ タ 実 験	1963年 3月	好 邦 一
TM-14	変断面片持梁固有振動数の一計算方法 について	1963年 3月	高 橋 利 之
TM-16	フ ラ ッ タ 試験設備測定部変換ノズルの 予 備 試 験	1963年 4月	永 井 中 島
TM-17	VTOL 機用 Jet Lift Engine に関する 一 考 察	1963年 6月	文 彦 一
TM-18	ヘリコプター振動のパワースペクトル 解 析	1963年 6月	雄 一
TM-19	吹出式超音速風胴による実験データの 処理方式について (I)	1963年 6月	井 中 朝 瞳
TM-20	1 m × 1 m 吹出式超音速風胴における AGARD 標準模型 B の三分力試験	1963年 7月	海 井 木 崎 中
TM-21	国産中型輸送機 Y S-11 主翼疲労試験 (第 I 報)	1963年 9月	中 高 鳥 山 小
TM-24	円輪と薄肉円筒の回転強度の関係	1963年11月	鳥 島 野 幸
TM-25	DATATRON 205 用 ALGOL 58 の Procedures ライブラリー	1964年 1月	忠 原 伸 利
TM-26	吹出式風胴の圧力制御 (フ ラ ッ タ 試験 設 備 の 場 合)	1964年 1月	高 木 藤 竹 内
TM-28	一段式観測ロケットの超音速風胴試験	1964年 1月	廣 井 伸 利
TM-29	遷音速フ ラ ッ タ 試験設備の改造および 整備試験	1964年 2月	井 伸 盛
TM-30	二段式ロケット飛しょう体の揚力およ び圧力中心推定法	1964年 3月	藤 伸 三
TM-31	亜音速ジェット輸送機の遷音速風胴に お け る 試 験	1964年 3月	泰 伸 一
TM-32	遷音速風胴の防音	1964年 4月	安 伸 勇
TM-33	非定常境界層の遷移の研究に使用され た定温度型熱線風速計について	1964年 4月	井 伸 雄
TM-34	極超音速風胴ノズルの境界層補正につ いて	1964年 5月	橋 安 次 郎
TM-37	気体の不完全性を考慮した極超音速風 胴ノズルの設計計算法	1964年 5月	崎 伸 夫
TM-38	AGARD-A 標準模型の超音速三分力 試験	1964年 6月	河 竹 伸 理
TM-39	相似極超音速流におかれた半球面上の 境界層の遷移に及ぼす粗さと冷却の 結合影響	1964年 7月	田 原 伸 二
TM-40	国産中型輸送機 Y S-11 脳体疲労試験 (I)	1964年 9月	高 木 伸 二
TM-41	抵抗線歪ゲージのゲージ率測定	1964年10月	木 原 伸 三
TM-42	実在着氷条件の測定について	1964年10月	石 伸 昌
TM-44	高負荷燃焼器 (アニュラ模型) の実験 結果	1964年12月	井 伸 夫
TM-46	翼胴結合金具の疲労特性	1964年12月	日 伸 吉
TM-47	ローター後流中のヘリコプター胴体の 抵抗について	1965年 1月	坂 伸 宏
TM-48	極超音速風胴用ペブル加熱器の予備実 験	1965年 2月	塚 伸 弘

固定端を有する薄肉円筒殻の自由振動について*

由寺木一**・泉 日出夫**

1. まえがき

円筒殻はロケットの構造などで、もっとも一般的なもので、厚さ一様の薄肉円筒殻について、両端が自由支持の場合については、固有振動の厳密解が得られている。境界条件がそれ以外については、厳密解は得られず簡単な仮定のもとで色々の解析法が試みられている。一般の構造では両端は自由支持でもなく固定でもない状態が現実であるけれども、自由支持に対して他方の強い束縛条件である両端固定の場合について、Ritz の方法を用いて、半径方向の変位に関して、対称と反対称に分けて、それぞれの場合について振動特性を解析した。このさい、軸方向、円周方向および半径方向の変位をそれぞれ 5 項で表わして、実用上重要な半径方向の変位が支配的なものについてのみここで考慮する。結果はまず L. R. Koval¹⁾ の実験結果と比較して、他の簡略化した理論よりもっとも精密であることを確認し、次に Reileigh—Ritz の方法による R. N. Arnold and G. B. Warburton²⁾ の理論、微分方程式と境界条件の簡略化による Y.—Y. Yu³⁾ の理論、さらに Don nel の式を用いた V. I. Weingarten⁴⁾ の理論と比較検討した。固有振動数については、Arnold and Warburton の理論は簡単な Reileigh—Ritz の方法によるものであるが、ほとんどあらゆる薄肉円筒殻の形状に対して、ここで計算した各変位 5 項による Ritz の方法によるものと固有振動数については、ほとんど差異は認められず、高々 10% 程度であるが、Y.—Y. Yu および V. I. Weingarten の理論は、誤差約 10% ぐらいを許すなら $n^2/m^2 \times a^2/l^2$ が $1/100$ ないし $1/300$ 以下の場合に用いることができる。他方モードについては、前記三つの理論はともに半径方向の変位に関して、両端固定の一様棒のモードに一致するが、Ritz の方法と比較すると、円周方向の波の数が少なくなるに従って差異はかなり大きくなる（図 4）ことがわかった。

2. 解析

円筒殻の座標系は図 1 のごとく円柱座標をとり、記号は下記に示す。

* 昭和41年1月13日受付

** 機体第一部

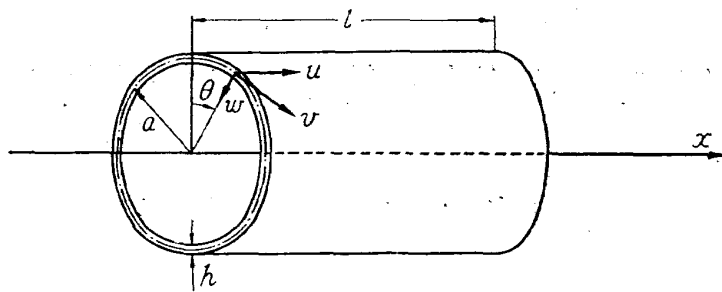


図 1

u, v, w : それぞれ殻中央面の軸方向, 円周方向, 半径方向の変位

ν : ポアソン比

E : 縦弾性係数

ρ : 殻の単位体積当たりの質量

ω : 角振動数

k_1 : a/l

k_2 : h/a

U : 歪エネルギー

T : 運動エネルギー

$N_x, N_{x\theta}$: 面内応力 (殻中央面単位幅当り)

$M_x, M_{x\theta}$: 曲げモーメント, ねじりモーメント (殻中央面単位幅当り)

Q_x : 板厚方向のせん断力 (殻中央面単位幅当り)

A_i, B_i, C_i : 定数係数, (5) 式

m : 円周方向の波の数

n : 軸方向の半波長の数

λ_i : 微分方程式の特性方程式から求められる定数, (5) 式

a_i, b_i, c_i : 試験関数に用いた係数, (7), (8) 式

$\phi_i(x)$: 両端固定の棒の第 i 次正規関数

ϕ'_i : $\frac{d\phi_i}{\beta_i dx}$

$$\phi_i = \cosh \beta_i x - \cos \beta_i x - \alpha_i (\sinh \beta_i x - \sin \beta_i x)$$

λ^2 : $\frac{(1-\nu^2)\rho a^2 \omega^2}{E}$ 振動数パラメータ

歪エネルギーは, Bleich and Dimagio⁵⁾ の式を用いて

$$U = \frac{E}{2(1-\nu^2)} k_2 \int_0^{2\pi} \int_0^l \left[a^2 \left(\frac{\partial u}{\partial x} \right)^2 + \left(\frac{\partial v}{\partial \theta} - w \right)^2 + 2av \frac{\partial u}{\partial x} \left(\frac{\partial v}{\partial \theta} - w \right) + \frac{1-\nu}{2} \left(\frac{\partial u}{\partial \theta} + a \frac{\partial v}{\partial x} \right)^2 \right]$$

$$\begin{aligned}
 & + \frac{k_2^2}{12} \left\{ a^4 \left(\frac{\partial^2 w}{\partial x^2} \right)^2 + \left(\frac{\partial^2 w}{\partial \theta^2} + w \right)^2 + \frac{1-\nu}{2} \times \left(a \frac{\partial^2 w}{\partial x \partial \theta} - \frac{\partial u}{\partial \theta} \right)^2 + \frac{3(1-\nu)}{2} a^2 \left(\frac{\partial v}{\partial x} + \frac{\partial^2 w}{\partial x \partial \theta} \right)^2 \right. \\
 & \left. + 2\nu a^2 \frac{\partial^2 w}{\partial x^2} \left(\frac{\partial^2 w}{\partial \theta^2} + \frac{\partial v}{\partial \theta} \right) + 2a^3 \frac{\partial u}{\partial x} \frac{\partial^2 w}{\partial x^2} \right\} dx d\theta
 \end{aligned} \quad (1)$$

運動エネルギーは、

$$T = \frac{\rho ah}{2} \int_0^{2\pi} \int_0^l \left[\left(\frac{\partial u}{\partial t} \right)^2 + \left(\frac{\partial v}{\partial t} \right)^2 + \left(\frac{\partial w}{\partial t} \right)^2 \right] dx d\theta \quad (2)$$

$T-U$ について変分法を遂行すると、境界の条件は、

$$x=0, l \text{ で}$$

$$N_x \delta_u = 0$$

$$\left(N_{x\theta} - \frac{M_{x\theta}}{a} \right) \delta v = 0 \quad (3)$$

$$\left(Q_x + \frac{\partial M_{x\theta}}{\partial \theta} \right) \delta w = 0$$

$$M_x \delta \left(\frac{\partial w}{\partial x} \right) = 0$$

したがって両端固定は、 $x=0, l$ で

$$u=v=w=\frac{\partial w}{\partial x}=0 \quad (4)$$

円筒殻の振動の微分方程式（たとえば W. Flüge の教科書⁶⁾）によれば、固有振動の解は一般に次式で与えられる。

$$u = \sum_i A_i e^{\lambda_i \frac{x}{l}} \cos m\theta \sin \omega t$$

$$v = \sum_i B_i e^{\lambda_i \frac{x}{l}} \sin m\theta \sin \omega t \quad (5)$$

$$w = \sum_i C_i e^{\lambda_i \frac{x}{l}} \cos m\theta \sin \omega t$$

λ_i は微分方程式の特性方程式の根である。(5) 式から u, v および w は x には x だけに依存する項と θ に依存する項の積に表わされる。したがって簡単に (5) 式を書き表わして、

$$\begin{aligned}
 n &= U(x) \cos m\theta \sin \omega t \\
 v &= V(x) \sin m\theta \sin \omega t \\
 w &= W(x) \cos m\theta \sin \omega t
 \end{aligned} \quad (6)$$

(6) 式を考慮して、Ritz の方法を用いるに当って、 $U(x), V(x), W(x)$ を境界条件をみたす試験関数で表わし、 θ に関しては (6) を用いる。両端固定の場合、 $x=l/2$ に対して $W(x)$ が対称のときは、円筒殻の対称性から $U(x)$ は反対称、 $V(x)$ は対称となり、逆に $W(x)$ が反対称のとき

は $U(x)$ は対称, $V(x)$ は反対称となるので, w に関して対称性を考えて, 次の (i), (ii) の場合に分けて計算する。試験関数として (6) 式を用いて,

(i) w に関して対称振動の場合,

$$\begin{aligned} U(x) &= \sum_{i=1}^5 a_{2i-1} \phi'_{2i-1}(x) \\ V(x) &= \sum_{i=1}^5 b_{2i-1} \phi_{2i-1}(x) \\ W(x) &= \sum_{i=1}^5 C_{2i-1} \phi_{2i-1}(x) \end{aligned} \quad (7)$$

(ii) w に関して反対称振動の場合,

$$\begin{aligned} U(x) &= \sum_{i=1}^5 a_{2i} \phi'_{2i}(x) \\ V(x) &= \sum_{i=1}^5 b_{2i} \phi_{2i}(x) \\ W(x) &= \sum_{i=1}^5 c_{2i} \phi_{2i}(x) \end{aligned} \quad (8)$$

のごとく変位を表わす。これらの試験関数を用いて ν , k_1 , k_2 をパラメータにして、振動数パラメータ λ が求められる。固有振動型は円筒殻の場合一般に m と n に対して一定次数のものについては、 u , v , w のモードも振動数も異なる三つの固有振動があるが⁶⁾ w が u および v に比して大きい値をもつ振動型は同一次数の振動でも固有振動数はもっとも低くて、工学上主として重要であるので、この場合のみを以下では取り扱う。

3. 結果とその考察

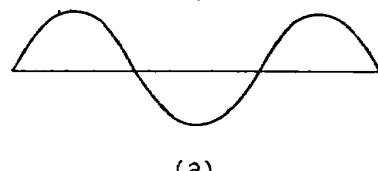
表1および図3に Koval の実験と Ritz の方法で求めたもの、および Arnold and Warburton, Yu さらに Weingarten の理論との振動数を比較した。 n の各値に対して m の大きい所で Ritz の方法で得た振動数は非常によく実験と一致している。 m が小さい場合、しだいに実験値とのへたりは大きくなっているがその差は高々 10% 程度である。 $n=4 \sim 5$ で $m=12 \sim 14$ では実験値が小さいが、円筒殻は一般に実験にさいして、真円度および両端の境界条件など不確さが伴うので、これらに起因するものかも知れない。

w に関するモードは図4に示したが、Ritz の方法で求めたモードは $w_{n,m}$ のごとく添字を付し、軸方向の半波長の数 n 、円周方向の波の数 m のモードを示した。これから円周方向の波の数 m が大きくなるのに従い、いずれの場合も、両端固定棒の固有モード ϕ_n に近づいている。Arnold and Warburton は u , v , w についてそれぞれ ϕ'_n , ϕ_n , ϕ_n なる単項ずつの近似、すなわち

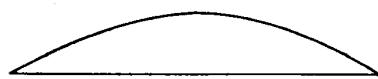
Reileigh-Ritz の方法で振動数を求め、Yu は u, v, w に関する振動の微分方程式の特性式で $|\lambda_n|^2 a^2 / m^2 l^2 \ll 1$ なる仮定と、 u および v の境界条件を無視し、Weingarten は Donnel の式から出発して Yu と同一の仮定のもとに解を得たがいずれも、 w についてのモードは m に無関係に ϕ_n となる。 ϕ_n と Ritz の方法で得たモードは m が小さいときはかなり差異が見られるが、 m が大きくなると ϕ_n に一致する傾向が見られる。

図 5～8 にはロケット構造で用いられる大きさの範囲内で、しかも $a/l, h/a$ 相互の関連を見とおせる、いくつかの場合について振動数曲線を図示した。これなどの計算では ν にはいっている ν を除いて $\nu=0.3$ とした。図 3, 5～8 より、Arnold and Warburton の単項ずつで得た振動数は、薄肉円筒殻で $h/a, a/l$ のたいていの場合に対して、十分精度のよいもので、 a/l が大きいとき、5 項ずつで表わした Ritz の方法に比し高々 10% 程度の差異しか見られない。一方 Yu の理論は a/l および n が大きいほど、 h/a のいかにかかわらず m が小さいほうで著しく差異が見られ精度はよくない。特に m が小さい所では w が u および v に比し支配的な値をもつ固有振動型が存在しなくなる場合がある。たとえば表 1 の場合では、 m が 2 以下のすべての n と m が 3 で $n \geq 4$ の場合がそれであり、これは m が小さいとき n が大きくなると w が他の u, v に比し支配的な固有値が虚数となるためである。Weingarten の理論についても Yu の場合と同一の傾向が見られるが、精度は Yu の理論に比べてよく、理論およびその結果の式も簡単である。図 3, 5～8 より Ritz の方法は完全な精度でないにしても、 $a/l, h/a$ のどの場合でも、もっとも精度のよいものである。これらの図の各場合を考察して、ほぼ 10% ぐらいの誤差を許すなら $n^2 a^2 / m^2 l^2 \leq 1/100 \sim 1/300$ (λ_n は x 軸方向の半波長の数に比例すると考えられるので、 $|\lambda_n|^2 a^2 / m^2 l^2$ の代わりにわかりやすく $n^2 a^2 / m^2 l^2$ を考えた。) で Yu および Weingarten の理論で固有振動数が求められることがわかる。

なお、 u に関する試験関数は、 w が $x=l/2$ に対して反対称のとき (8) 式を用いたが、 ϕ_{2i}' の最低次 ϕ_2' は図 2 (a) のごとくなり、図 2 (b) のごとき項は含まれていない。これは Arnold



(a)



(b)

図 2

and Warburton が u, v, w についてそれぞれ ϕ_n' , ϕ_n , ϕ_n なる単項近似でよい結果を得ている⁴⁾ 事実に基づき、計算を(8)式のごとく簡単な統一した関数を用いたためである。図3の w が反対称の場合、実験と比較して、試験関数の(8)式の表現は妥当なものと考えられる。また $a/l=1/4$, $h/a=1/300$ で $n=2$, $m=6$ の場合の固有関数を示すと次のようになる。

Arnold and Warburton の場合、

$$U(x)=\phi_2'$$

$$V(x)=4.271\phi_2$$

$$W(x)=25.39\phi_2$$

Ritz の方法の場合、

$$U(x)=\phi_2'-8.571\times10^{-4}\phi_4'-5.081\times10^{-3}\phi_6'-4.275\times10^{-3}\phi_8'-3.316\times10^{-3}\phi_{10}'$$

$$V(x)=4.353\phi_2+1.708\times10^{-1}\phi_4+7.269\times10^{-2}\phi_6+3.875\times10^{-10}\phi_8+2.334\times10^{-2}\phi_{10}$$

$$W(x)=25.87\phi_2+1.198\phi_4+5.925\times10^{-1}\phi_6+3.673\times10^{-1}\phi_8+2.572\times10^{-1}\phi_{10}$$

となり多項を追加しても、 u に関しては ϕ_2' の係数が支配的で、他の高次の ϕ_2' の係数ははなはだしく小さく、図2(a)のような u のモードを得る。 ϕ_n' が直交関数系でないことを考えると、 u に関する試験関数(8)式は妥当に考えられる。

4. む す び

試験関数を多項で表わした Ritz の方法は簡略化された他の方法よりも精度のよい結果が得られた。

(1) Arnold and Warburton の理論による固有振動数は簡略化した理論のうちでは、ほとんどあらゆる薄肉円筒殻に対して、もっともよい結果を与える。

(2) Yu および Weingarten の理論による固有振動数は、 $n, a/l$ が大きくて、 m が小さい所ではかなりの誤差を生じ、ほぼ10%以下の誤差を許すならば、 $\frac{n^2a^2}{m^2l^2} \leq \frac{1}{100} \sim \frac{1}{100}$ で固有振動数を求めることができるだろう。

(3) 簡略化した理論では、上述の三者とも、半径方向の変位に関するモードは、両端固定の一様棒のモード ϕ_n となるが、多項で表わした Ritz の方法で得たモードは、 m が小さいときかなり異なるが、 m が大きくなると、しだいに ϕ_n に近づく。

(4) a/l および h/a の種々の場合に対して、振動数曲線を図3および図5~8に図示した。

文 献

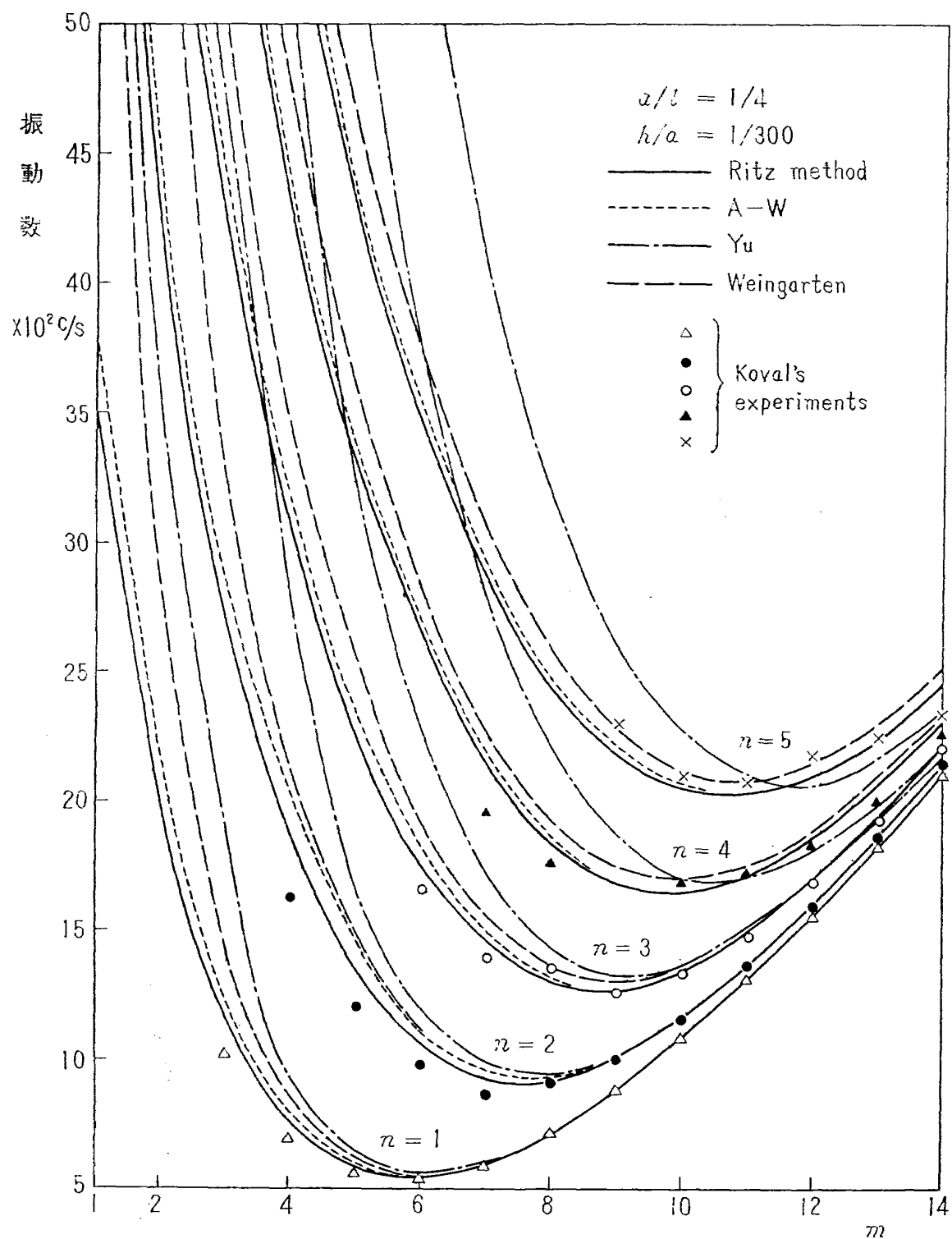
- 1) L. R. Koval; On the Free Vibrations of Thin Cylindricai Shells Subjected to an Initial Static Torgue, Fourth U. S. National Congres of Applied Mechanics (1962) pp. 650—660.
- 2) R. N. Arnold & G. B. Warburton; The Flexural Vibrations of Thin Cylinders, Proc. Inst. Mnch. Engrs. Vol. 167 (1953) pp. 62—74.
- 3) Y.—Y. Yu; Free Vibrations of Thin Cylindrical Shells having Finite Lengh witn Freely Supported and Clamped Edges, J. Appl. Mech. Vol. 22 (1955)
- 4) V. I. Weingarten; Free Vibration of Thin Cylindrical Shells, AIAA J. Vol. 2 (1964) pp. 717—722.
- 5) H. H. Bleigh & F. Dimagio; A Strain—Energy Expression for Thin Cylindrical Shells, J. Appl. Mech. Vol 17 (1950) pp. 448—449.
- 6) W. Flüge; Statik und Dynamik der Schalen, Springer—Verlag (1962) p. 274.

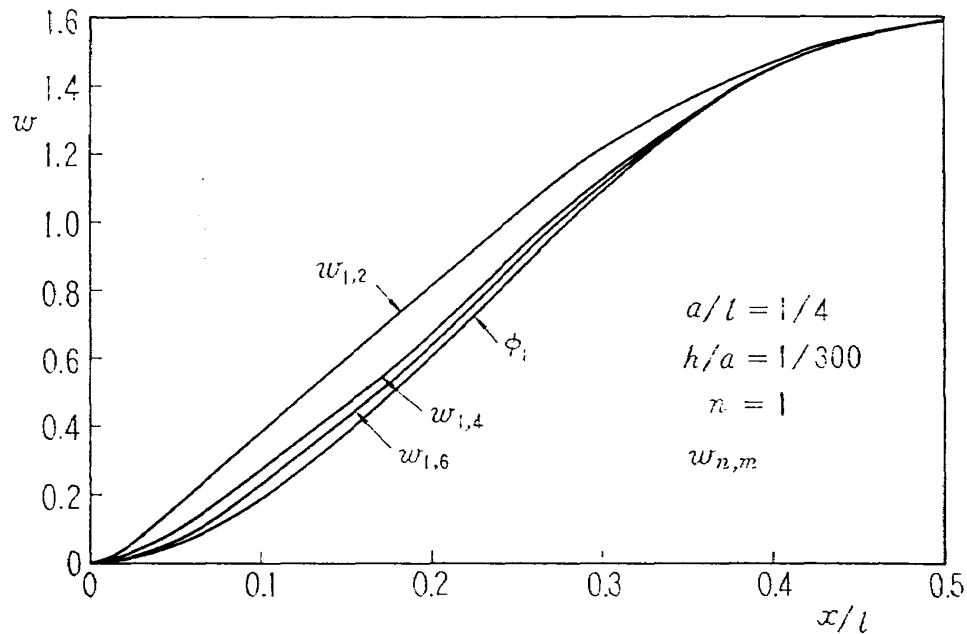
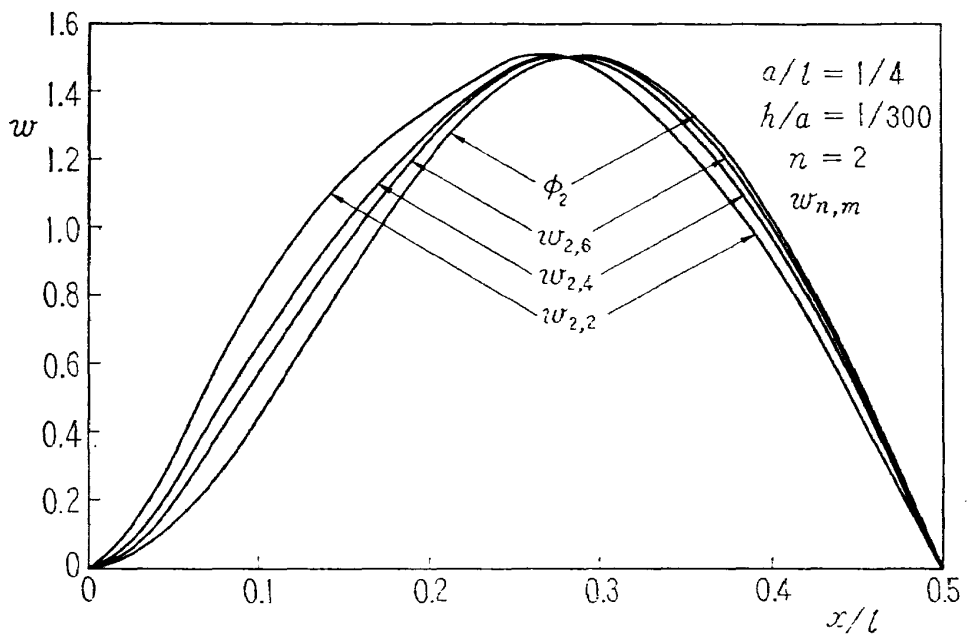
表 1 Ritz の方法と Koval の実験結果, Arnold and Warburton の理論, Yu の理論, Weingarten の理論との振動数比較

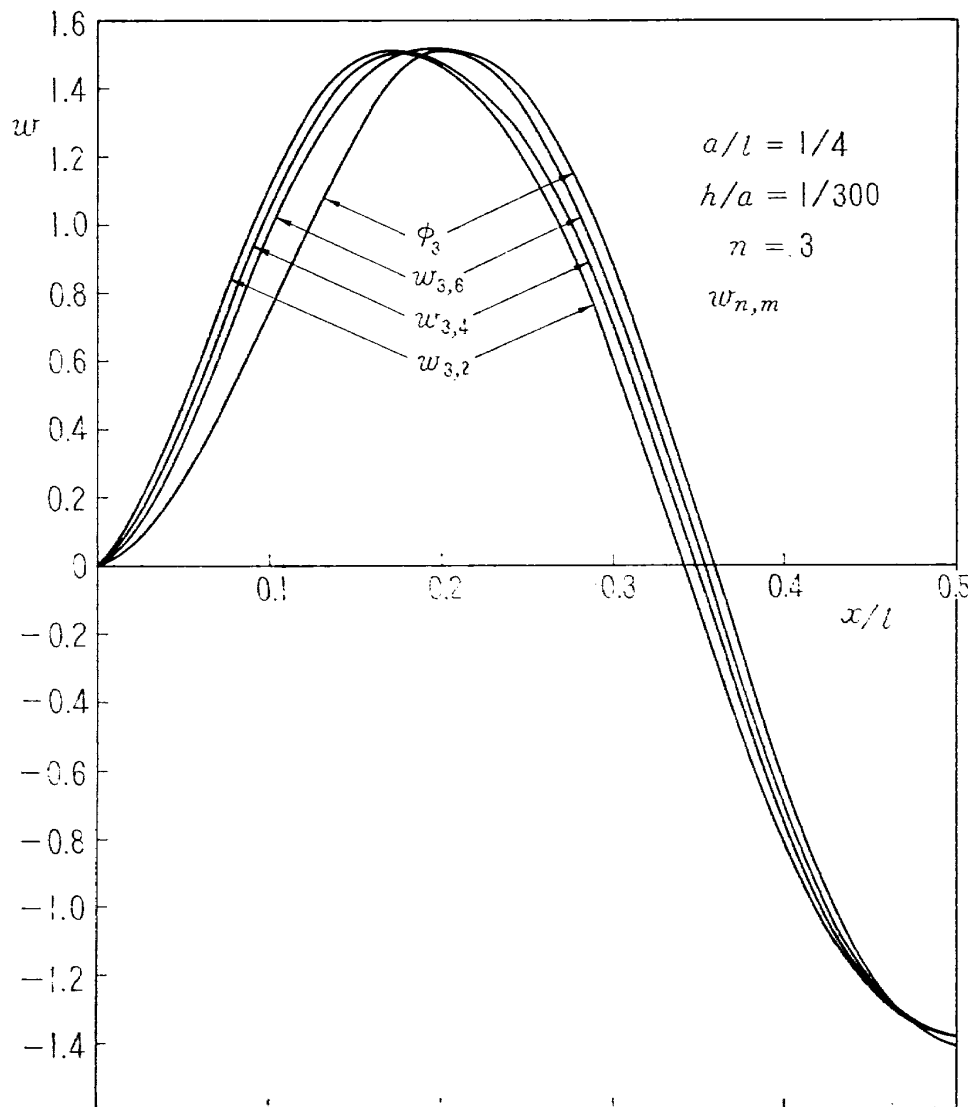
$n \backslash m$	1	2	3	4	5	6	7	8	9	10	11	12	13	14
1	Koval Exp.													
	Ritz method	3519	1963	1025	700	545, 559	525	578, 598	720	885	1090	1310	1560	1850
	A-W	3785	2084	775	584	537	595	719	886	1083	1305	1552	1821	2112
	Yu	1.65×10^4	3509	807	600	545	599	721	887	1084	1306	1552	1821	2112
	Weingarten	6248	2777	925	645	562	606	725	890	1086	1309	1555	1824	2115
2														
		6654	4145	2697	1848	1341	1053	923	919	1008	1163	1362	1595	1856
		6919	4316	2792	1901	1373	1073	935	926	1013	1165	1364	1597	1857
		1.856×10^4	2.571×10^4	4518	2526	1644	1196	986	939	1007	1151	1346	1578	1838
		8510	5260	3217	2084	1460	1118	964	949	1034	1186	1384	1616	1877
3														
		8465	6006	4178	3005	2247	1757	1454	1301	1272	1344	1489	1689	1929
		8755	6181	4355	3141	2341	1769	1495	1327	1289	1353	1495	1692	1933
		2.125×10^4	2.69×10^4	1.053×10^4	5012	3207	2257	1708	1432	1321	1344	1463	1650	1883
		9465	7009	4895	3434	2503	1911	1551	1366	1319	1380	1520	1717	1955
4														
		9569	7454	5606	4242	3275	2598	2133	1836	1680	1645	1710	1853	2056
		9636	7536	5714	4345	3358	2659	2178	1868	1730	1659	1720	1860	2061
		2.43×10^4	2.865×10^4	3.664×10^4	8607	5345	3700	2761	2188	1860	1712	1706	1807	1985
		9924	8120	6234	4709	3594	2800	2268	1929	1746	1695	1751	1888	2088
5														
		9992	8422	6749	5341	4254	3443	2852	2438	2172	2037	2016	2090	2242
		1.098×10^4	8451	6790	5413	4333	3514	2911	2461	2206	2062	2033	2102	2251
		2.675×10^4	3.067×10^4	3.764×10^4	1.370×10^4	8124	5561	4076	3183	2605	2263	2100	2079	2171
		10180	8829	7236	5782	4605	3706	3045	2579	2278	2118	2081	2146	2292

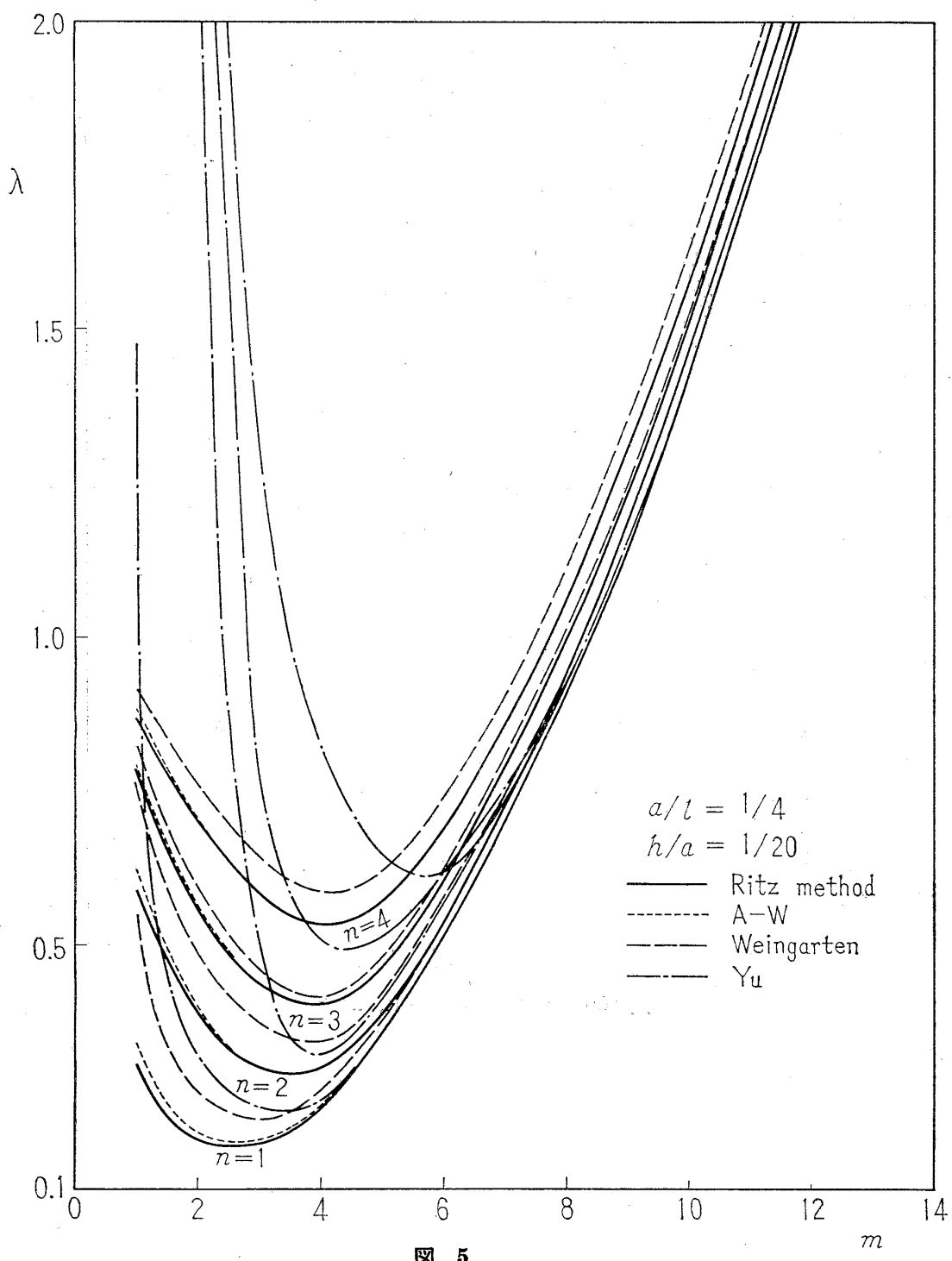
m ; 円周方向の波の数, 振動数は c/s, 材質; Steel, $a=3''$, $a/l=1/4$, $\hbar/a=1/300$.

n ; 軸方向の半波長の数.



図4(a) w に関するモード, $n=1$ 図4(b) W に関するモード, $n=2$

図4(c) w に関するモード, $n=3$



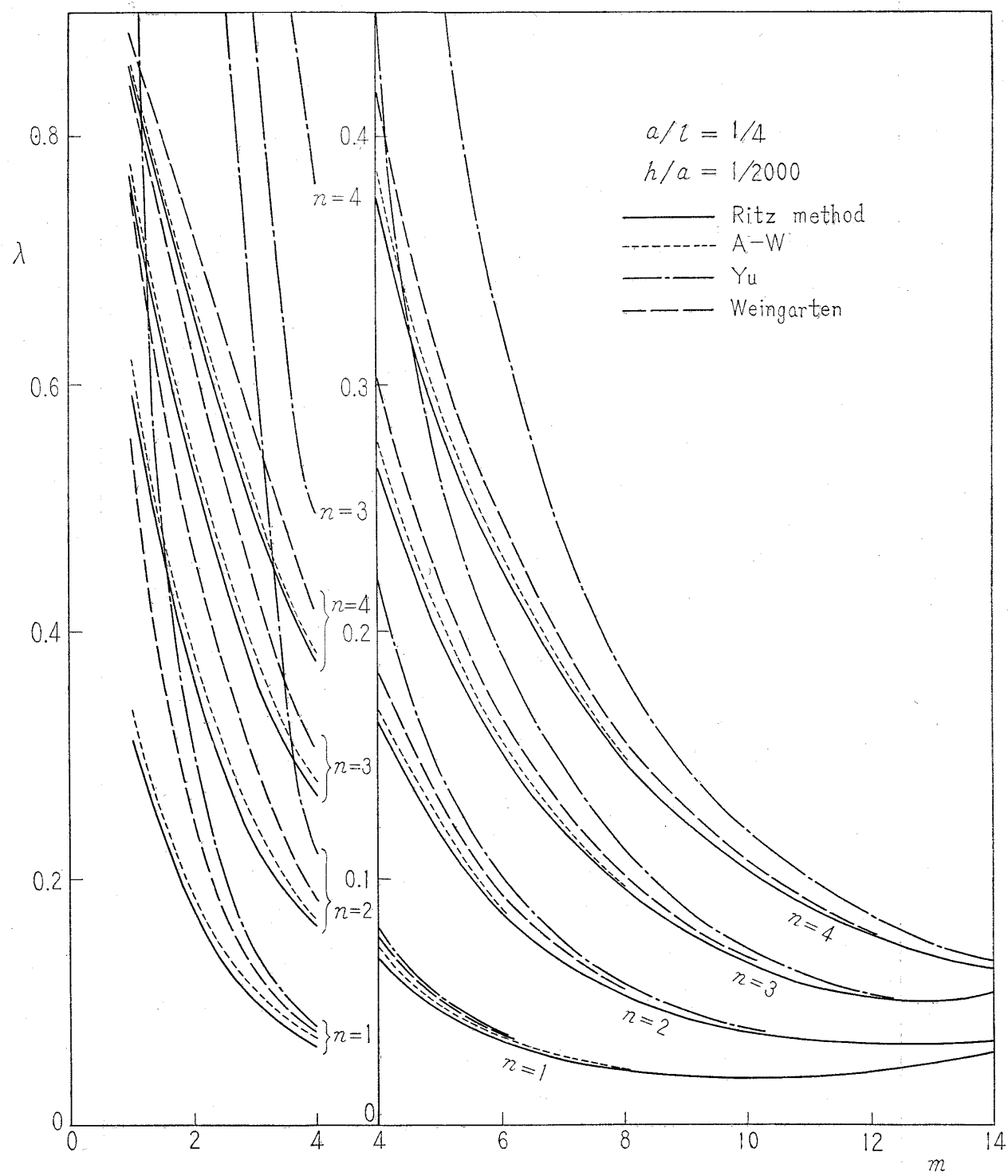


図 6

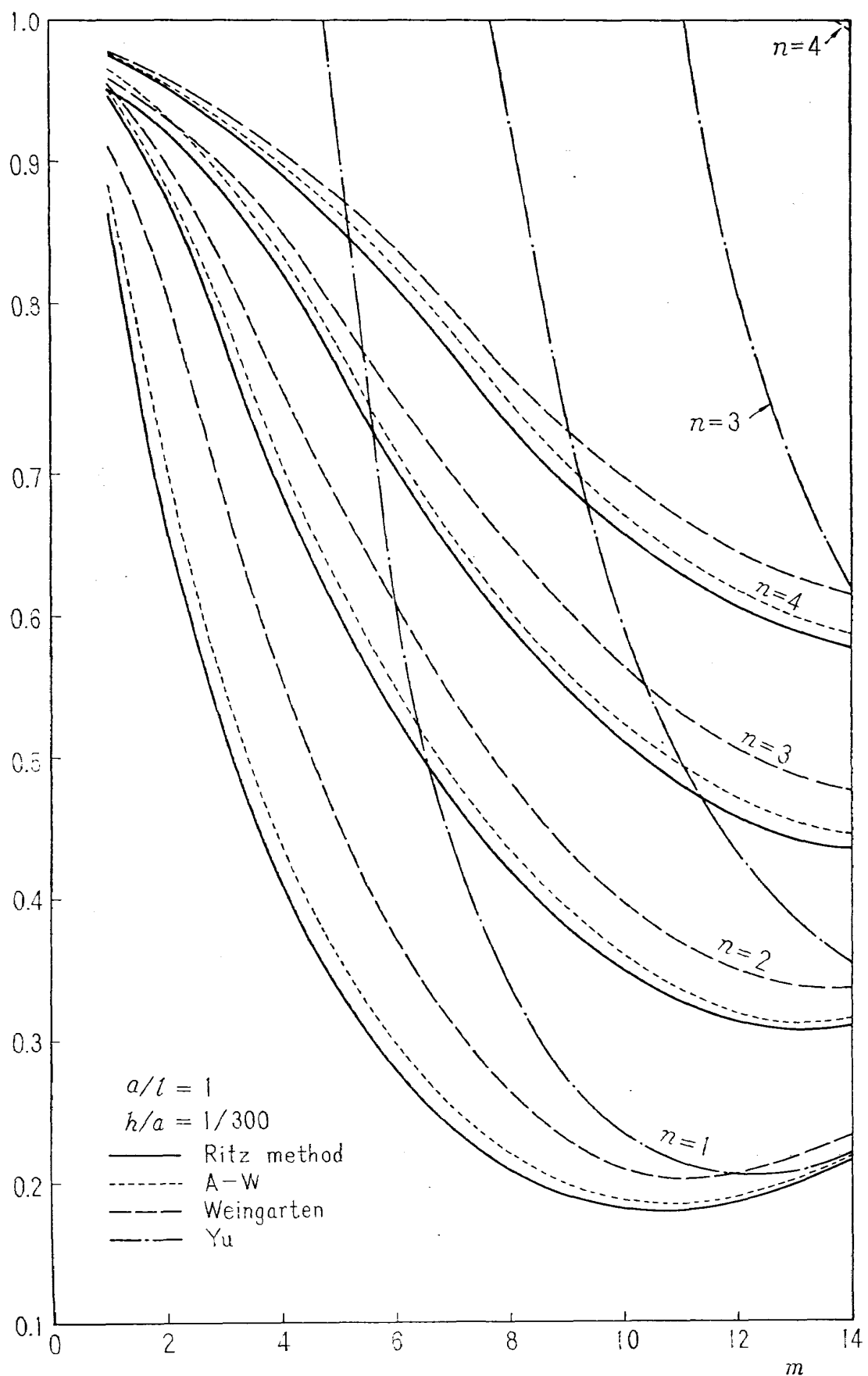


図 7

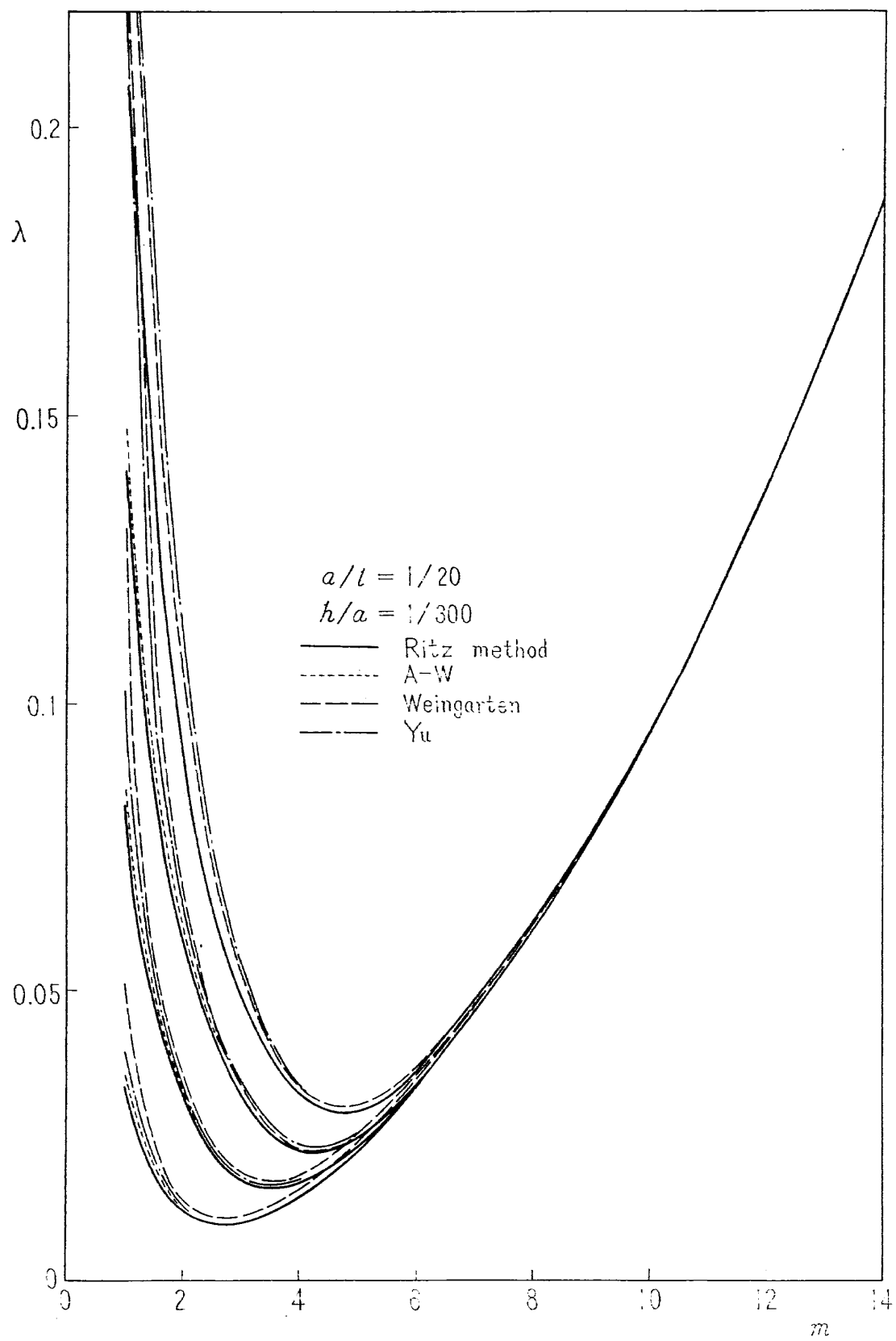


図 8

I. 田寺木一 泉日出夫	NAL TM-73 航空宇宙技術研究所 固定端を有する薄肉円筒殻の自由振動について
II. NAL TM-73 III. 534. 121. 01	1966年1月 15ページ

両端固定の薄肉円筒殻の固有振動数とモードを Ritz の方法で求め、従来の簡化解した理論および実験と比較し、簡化解した理論の妥当性と適用範囲を示し、いくつかの場合について、振動数曲線を求めた。

I. 田寺木一 泉日出夫	NAL TM-73 航空宇宙技術研究所 固定端を有する薄肉円筒殻の自由振動について
II. NAL TM-73 III. 534. 121. 01	1966年1月 15ページ

両端固定の薄肉円筒殻の固有振動数とモードを Ritz の方法で求め、従来の簡化解した理論および実験と比較し、簡化解した理論の妥当性と適用範囲を示し、いくつかの場合について、振動数曲線を求めた。

I. 田寺木一
泉日出夫
II. NAL TM-73
III. 534. 121. 01

両端固定の薄肉円筒殻の固有振動数とモードを Ritz の方法で求め、従来の簡化解した理論および実験と比較し、簡化解した理論の妥当性と適用範囲を示し、いくつかの場合について、振動数曲線を求めた。

I. 田寺木一
泉日出夫
II. NAL TM-73
III. 534. 121. 01

両端固定の薄肉円筒殻の固有振動数とモードを Ritz の方法で求め、従来の簡化解した理論および実験と比較し、簡化解した理論の妥当性と適用範囲を示し、いくつかの場合について、振動数曲線を求めた。

NAL TM-73
航空宇宙技術研究所
固定端を有する薄肉円筒殻の自由振動について

1966年1月 15ページ

TM-49	Queen-Air 機の失速特性について	1965年2月	幸尾 治朗, 岡鎌 一男 照井 祐之, 田遠 幸敏
TM-50	LS-A型ロケットの曲げ剛性および振動試験について	1965年5月	中井 暁一, 堀 勝武 日出夫
TM-51	超音速風洞空力データ表示記録装置	1965年5月	泉谷 喬一, 島高明 原原 利近, 藤洋史
TM-53	ベクトルのノルムと行列のノルム —数値解法の収束条件その他への応用—	1965年5月	板垣 芳雄
TM-54	熱衝撃試験用風洞整備試験	1965年5月	武藤洋治郎, 池田 為治 坂元思無邪, 山敏雄
TM-55	ロケット模型風洞試験における超音速 相似則の応用	1965年5月	河崎 俊夫, 谷喬
TM-56	2024-T4アルミニウム合金平滑丸棒の 常温回転曲げ疲労試験	1965年7月	石田 誠, 河野哲雄
TM-57	極超音速における軸対称物体の前面抵抗	1965年7月	曾我國男
TM-58	試験用飛しょう体の超音速風洞試験	1965年8月	斎藤秀夫, 村木友昭
TM-59	ジェットリフトエンジン空気取り入口 の実験(I)	1965年9月	近藤 博, 田代惣平
TM-60	吹出式超音速風洞における実験データ の処理方式について(II)	1965年9月	原閏直利, 島高明 根川保子, 中正夫
TM-61	クインエア機の風洞試験	1965年9月	広末健一, 沢矢司 塙吉一, 村征一 佐野四郎, 村能実 別府信宏, 村村一 江川幸一, 飯田宗四郎
TM-62	高温歪ゲージの温度特性試験	1965年10月	池田 為治, 坂元思無郎
TM-63	2024-T3アルミニウム合金の有孔補強 平板の軸荷重による疲労特性	1965年10月	光山敏雄, 山内澄夫 星谷昌二, 宮地敏雄
TM-64	応力集中による材料の疲れ強さに関する 一実験(I)	1965年10月	齋藤隆, 堀内正司
TM-65	ジェットエンジンの翼の固有振動に関する 実験	1965年11月	中村浩子, 機體第一部 中原動機部
TM-69	質量分析計による水蒸気を含む試料の ガス分析	1965年12月	戸川隼人, 石黒登美子
TM-71	可動アイアンバードの構造および機能	1965年12月	
TM-72	地上付近の風の影響による小型ロケットの姿勢角変化	1965年12月	

注：欠番は配布先を限定したもの

航空宇宙技術研究所資料73号

昭和41年1月発行

発行所 航空宇宙技術研究所
東京都調布市深大寺町1880

電話武藏野三鷹(0422)44-9171(代表)

印刷所 奥村印刷株式会社
東京都千代田区西神田1~10